

ساخت بسترهای پلاسمونیک به روش آسان چرخشی و به هدف آشکارسازی باکتری سالمونلا

خلاصه

مقدمه: روش پراکندگی رامان ارتقاء یافته سطحی (SERS) یکی از روش‌های کارآمد برای شناسایی مقادیر اندک و حتی شناسایی تک مولکول است. با قرار گرفتن گونه‌های مختلف در نزدیکی سطح فلز و یا جذب فیزیکی گونه‌ها به نانوساختارهای فلزی، به علت برهم‌کنش گونه‌ها و پلاسمون‌های سطحی فلز، شدت سیگنال رامان افزایش می‌یابد. از طرفی باکتری سالمونلا در بسیاری از مواد غذایی یافت می‌شود و به راحتی می‌تواند رشد کند که شناسایی این باکتری در صنایع غذایی و کشاورزی مورد توجه است که برای شناسایی این باکتری می‌توان استفاده از تکنیک SERS را پیشنهاد کرد.

روش بررسی: در این پژوهش، نانوذرات نقره به روش شیمیایی و با استفاده از عامل کاهنده ساکلوز ساخته شدند، سپس با به کارگیری روش چرخشی و نشست نانوذرات نقره روی بسترهای شیشه‌ای، بسترهای پلاسمونیکی ساخته شدند. با استفاده از بسترهای پلاسمونیکی و طیفسنجی رامان که تکنیکی غیرمخترب است، آشکارسازی باکتری سالمونلا انجام شد.

یافته‌ها: با استفاده از آنالیزهای طیفسنجی فرابنفش-مرئی (UV-Vis)، میکروسکوپ الکترونی روبشی گسیل میدانی (FESEM) و میکروسکوپ نیروی اتمی (AFM)، مشخصه‌های بسترهای پلاسمونیکی بررسی شدند و به عنوان حسگر زیستی پراکندگی رامان ارتقاء یافته سطحی (SERS) مورد استفاده قرار گرفتند. استفاده از بستر پلاسمونیکی سبب می‌شود که به دلیل تشدید پلاسمون‌های سطحی نانوجزایر نقره و پراکندگی نور از جزایر نقره میکرومتری، ارتعاش‌های مولکولی باکتری سالمونلا تقویت شوند بنابراین شدت قله‌های ارتعاش‌های مولکولی طیف SERS باکتری سالمونلا نسبت به طیف رامان آن که از حکاکی باکتری روی بستر شیشه‌ای به دست می‌آید، قوی‌تر است. بسترهای پلاسمونیکی معرفی شده می‌تواند به تشخیص کم‌هزینه و زودهنگام بیماری‌های ناشی از باکتری سالمونلا و پاتوژن‌های موجود در مواد غذایی کمک کند.

نتیجه‌گیری: از آن جایی که نقره به دلیل تشدید پلاسمون‌های سطحی و پراکندگی نور، سیگنال رامان حاصل از مولکول‌های مختلف را بهبود می‌دهد، بسترهای پلاسمونیکی

وحید اسکندری^۱

فیضه شریفی^۲

۱. کارشناسی ارشد، پژوهشکده علوم و فناوری نانو، دانشگاه کاشان، کاشان، ایران

۲. استادیار، گروه لیزر و فوتونیک، دانشکده فیزیک، دانشگاه کاشان، کاشان، ایران

به عنوان بستر فعال در طیف‌سنجی ارتقاء‌یافته سطحی (SERS) برای آشکارسازی غلظت‌های مختلف باکتری سالمونلا به کار گرفته شدند. با استفاده از بسترهای پلاسمونیکی که مشتمل از نانوجزایر و جزایر میکرومتری نقره هستند می‌توان از اثر تشدید پلاسمون‌های سطحی و اثر پراکنده‌گی نور به طور همزمان استفاده کرد و سیگنال رامان باکتری سالمونلا را افزایش داد. با کاهش غلظت باکتری، سیگنال‌های SERS نیز کاهش می‌یابند. برخلاف رامان باکتری‌هایی که روی بستر غیرپلاسمونیکی شیشه قرار دارند در بسترهای پلاسمونیکی، با کاهش غلظت باکتری، شدت قله‌های ارتعاش‌های مولکولی سالمونلا هنوز هم از شدت قابل ملاحظه‌ای برخوردار است که نتیجه تحریک ارتعاش‌های مولکولی به وسیله پلاسمون‌های سطحی و پراکنده‌گی نور از بستر پلاسمونیک است و می‌توان باکتری سالمونلا تا غلظت $10^2 \text{ mL}^{-1} \text{ cfu}$ را شناسایی کرد هرچند این بسترهای پلاسمونیکی توانایی شناسایی تک مولکول را ندارد که برای انجام این کار باید از سوزن میکروسکوپ نیروی اتمی استفاده کرد که هزینه‌ها را افزایش می‌دهد.

واژه‌های کلیدی: بسترهای پلاسمونیک، نانوذرات نقره، پراکنده‌گی رامان ارتقاء‌یافته سطحی (SERS)، باکتری سالمونلا، ارتعاش‌های مولکولی

نویسنده‌مسئول: نفیسه شریفی تلفن: ۰۳۱۵۵۹۱۳۰۹۱
پست الکترونیک: shariifi@kashanu.ac.ir

مقدمه

سطحی نقره، شدت سیگنال رامان افزایش می‌باید و بدین ترتیب SERS می‌تواند برای تشخیص سریع و دقیق گونه‌های میکروبیولوژیکی استفاده شود [۵ و ۶]. در این پژوهش، نانوذرات نقره با استفاده از روش ساده چرخشی، بر روی بسترهای شیشه‌ای قرار گرفتند تا به عنوان بسترهای فعال در SERS برای تشخیص غلظت‌های مختلفی از باکتری سالمونلا به کار گرفته شوند. بدین ترتیب می‌توان با صرف هزینه‌های کمتر به تشخیص زودهنگام بیماری‌های ناشی از باکتری سالمونلا و پاتوژن‌های موجود در مواد غذایی دست بیاییم.

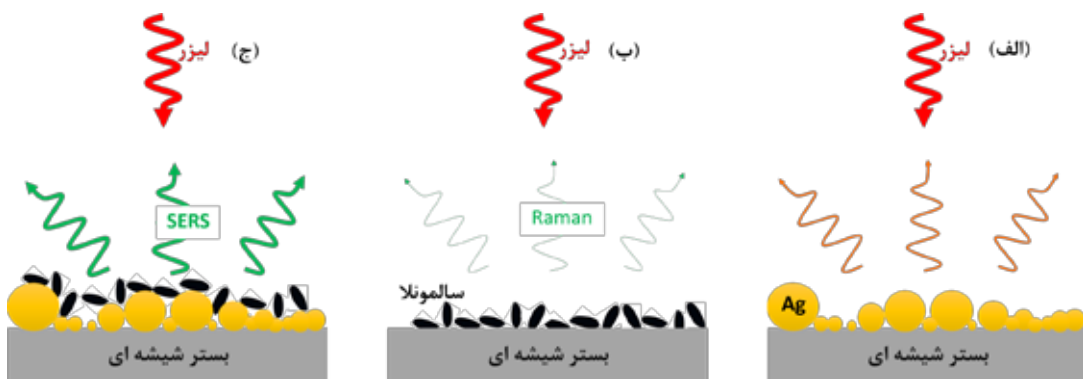
شکل ۱ طرح‌واره آشکارسازی باکتری سالمونلا را نشان می‌دهد که الف: بستر پلاسمونیکی، ب: بستر شیشه‌ای حکاکی شده با باکتری سالمونلا و ج: بستر پلاسمونیکی حکاکی شده با باکتری سالمونلا است که با تابش نور لیزر با طول موج ۷۸۵ نانومتر سیگنال نور رامان پراکنده شده اندازه‌گیری می‌شود.

روش‌های ساخت و شناسایی

روش ساخت بسترهای پلاسمونیکی

لامهای شیشه‌ای با ابعاد $2 \text{ cm} \times 2 \text{ cm}$ به عنوان بستر برش داده شدند و ابتدا با شوینده‌های آئیونی و آب و سپس با استون شستشو داده شدند و حین شستشو از امواج فراصوت نیز استفاده شد. سپس بسترهای خشک و درنهایت در دمای 40°C به مدت ۳۰ دقیقه در کوره حرارت دهی شدند تا آلودگی‌های آلی نیز از سطح شیشه حذف شوند و سطح بسترهای

باکتری سالمونلا در بسیاری از مواد غذایی یافت می‌شود و در شرایط محیطی نامناسب نیز نه تنها می‌تواند زنده بماند که به راحتی می‌تواند رشد کند. بنابراین کنترل باکتری سالمونلا در صنعت کشاورزی، غذا و صنایع فرآوری همواره مسئله‌ساز است و شناسایی و تشخیص مقادیر بسیار اندک آن مورد توجه قرار دارد. از طرفی شناسایی و تشخیص مواد میکروبیولوژیکی زمان بر و نیازمند هزینه‌های گراف است و تشخیص سریع باکتری‌ها در مواد غذایی از اهداف حوزه‌های مرتبط با آن است که دستگاه‌های مختلفی از جمله طیف‌سنجی زیرقرمز و طیف‌سنجی رامان که هر دو طیف‌سنجی اثر انگشتی محسوب می‌شوند و با استفاده از ارتعاش‌های مولکولی ماده را بررسی می‌کنند برای تشخیص باکتری‌ها به کار گرفته می‌شوند. اما، از آنجایی که گونه‌های میکروبیولوژیکی مانند باکتری‌ها در محیط‌های آبی قرار دارند و به دلیل فعل بودن ارتعاش‌های مولکولی آب، اندازه‌گیری با طیف‌سنجی زیرقرمز مناسب گونه‌های موجود در محیط آبی نیست، طیف‌سنجی رامان گرینه مناسی برای تشخیص گونه‌های میکروبیولوژیکی است [۱] اما به دلیل ضعیف بودن ذاتی سیگنال حاصل از پراکنده‌گی رامان، مطالعه مولکول‌ها با غلظت‌های اندک عملأ امکان‌پذیر نیست [۲]. یکی از روش‌های کارآمد برای تشخیص و شناسایی مقادیر اندک و حتی شناسایی تک مولکول، روش پراکنده‌گی رامان ارتقاء‌یافته سطحی (SERS) است [۴ و ۳]. در این روش هنگامی که گونه‌های مختلف مورد مطالعه در نزدیک سطح فلز قرار می‌گیرند یا به طور فیزیکی جذب نانوذرات فلزی می‌شوند، به علت برهم‌کنش گونه‌ها و پلاسمون‌های



شکل ۱: طرح واره آشکارسازی (الف) سیگنال رامان بستر پلاسمونیکی، (ب) سیگنال رامان باکتری سالمونولا و (ج) سیگنال SERS بستر پلاسمونیکی حکاکی شده با باکتری سالمونولا که بهبود سیگنال رامان باکتری سالمونولا حکاکی شده روی بستر پلاسمونیکی را نسبت به حالتی که باکتری سالمونولا در مععرض نور برآکنده شده از نانوذرات نقره قرار نگرفته است، نمایش می‌دهد.

انجام S4160 مدل Hitachi و Lambda 25 مدل Perkin-Elmer شد. تصویر میکروسکوب نیروی اتمی (AFM) این نمونه‌ها نیز با استفاده از دستگاه شرکت نانوسیستم پارس ساخت ایران تهیه شد. با تابش نور لیزر Nd:YAG با طول موج ۷۸۵ نانومتر و توان خروجی قابل تنظیم ۷۵ میلی‌وات دستگاه طیف‌سنجی رامان Metrohm Raman مدل MIRA، طیف رامان و طیف SERS نمونه‌ها اندازه‌گیری شدند.

یافته‌ها و بحث

طیف جذب و تصویر FE-SEM بستر پلاسمونیکی

شکل ۲-الف طیف جذب بستر پلاسمونیکی را نشان می‌دهد که مشاهده بشینه جذب در طول موج ۴۲۴ نانومتر که قله پلاسمونی نقره است، تشکیل نانوذرات نقره را تأیید می‌کند. وجود تنها یک قله جذبی در طیف جذب نقره نیز نشان می‌دهد که نانوذرات کروی یا شبکه کروی هستند. در شکل ۲-ب تصویر FE-SEM بستر پلاسمونیکی مشاهده می‌شود که نقره به صورت جزایری روی سطح بستر شیشه قرار گرفته‌اند. اندازه جزایر کوچکتر که به صورت نقاطی روشن چه بروی سطح تیره شیشه و چه بروی ذرات بزرگتر و کلوخه‌ای در تصویر دیده می‌شود، حدود ۱۰ نانومتر است. توزیع اندازه جزایر بزرگ‌تر در منحنی که بروی تصویر قرار داده شده مشاهده می‌شود که اندازه بین ۲۰ تا ۱۸۰ دارند. در واقع، با کاهش کمپلکس نقره و تشکیل نانوذرات نقره، ذرات کروی یا شبکه کروی ساخته می‌شوند که در مورد بسیاری از آن‌ها پدیده کلوخه شدن اتفاق افتاده است که به صورت جزایری بی‌شک می‌شوند. بنابراین با روش ساخت به کارگرفته شده، بستر پلاسمونیکی هم شامل ذرات میکرونی و هم شامل نانوذرات است که ذرات بزرگ‌تر نقره منجر به پراکندگی نور (تقویت میدان الکتریکی دور) می‌شوند و ذرات کوچک‌تر، میدان‌های الکتریکی نزدیک قابل توجهی ایجاد می‌کنند که حاصل تشدید پلاسمون‌های سطحی است [۹].

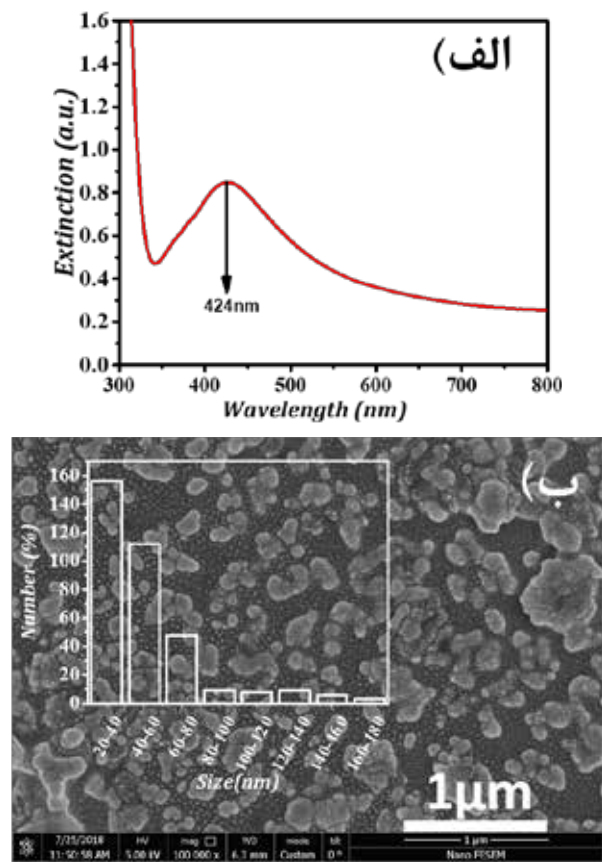
آب دوست شوند. به منظور ساخت نانوذرات نقره با استفاده از همزن مغناطیسی و با افزودن آمونیا به ۲۱ mL محلول ۰/۱ مولار نقره نیترات، کمپلکس آمونیاکی نقره ساخته شد. سپس با اضافه کردن ۲۰ mL محلول پیاس ۰/۰۵ مولار به صورت قطره قطره، رسوب نقره اکسید که بهرنگ تیره است، تشکیل می‌شود. اضافه کردن آمونیا به صورت قطره قطره باعث حل شدن رسوب حاصل و شفاف شدن محلول می‌شود. بعد از اضافه کردن ۱۰ mL محلول ساکاروز ۰/۰۷ مولار و استفاده از حمام گرمایی با دمای ۵۰°C به مدت ۴ دقیقه، کمپلکس نقره کاهیده می‌شود و نقره در داخل محلول تشکیل می‌شود [۷]. سپس برای پوشش دهی نقره روی لام‌های شیشه‌ای و ساخت بسترها پلاسمونیکی، ۱۰۰ mL محلول کلورئید نقره روی لام‌های شیشه‌ای قرار داده شد و با استفاده از دستگاه چرخشی به مدت ۶۰ ثانیه با سرعت ۳۶۰۰ دور بر دقیقه لایه‌نشانی انجام شد که مدت زمان شتاب‌گیری ۱۲ ثانیه تنظیم شد.

کشت و حکاکی باکتری سالمونلا روی بستر شیشه‌ای و بستر پلاسمونیکی

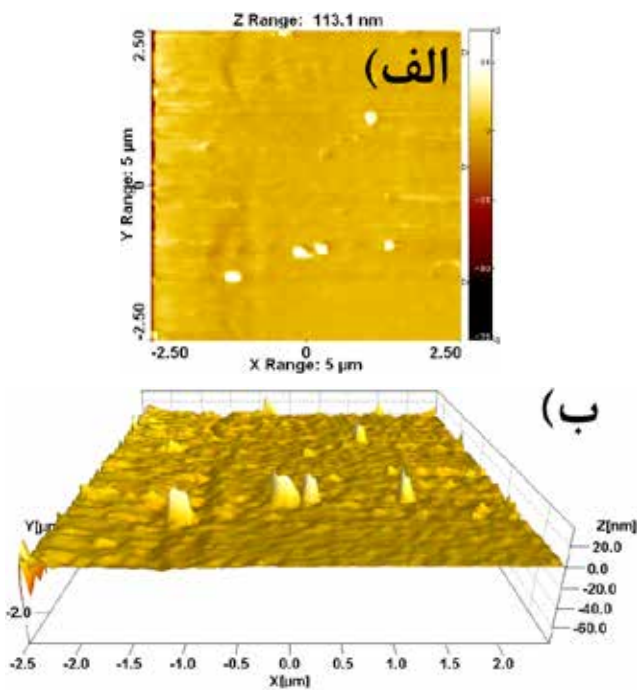
مقداری کلنی باکتری در محیط کشت سوی براث (SOY-BROTH) در دمای ۳۷°C به مدت ۱۸ ساعت در اتوکلاو (شرکت ریحان طب مدل RT-۲، ایران) قرار داده شد تا باکتری‌ها فعال شوند. پس از سانتریفیوژ به مدت ۱۰ دقیقه با سرعت ۱۵۰۰۰ دور بر دقیقه، مایع زردزنگ جدا شد که از لوله‌های سانتریفیوژ خارج شد و ۳ بار، هر بار با ۱۰ mL آب بدون یون این عمل تکرار شد و باکتری سالمونلا در غلظت‌های 10^2 ، 10^3 ، 10^4 ، 10^5 و 10^6 (colony-forming unit mL⁻¹ cfu mL⁻¹) روی بسترها شیشه‌ای و بسترها پلاسمونیکی حکاکی شد و در دمای آزمایشگاه خشک شدند.

مشخصه‌یابی

طیف‌سنجی UV-Vis و تصویر میکروسکوب الکترونی گسیل میدانی (FE-SEM) بستر پلاسمونیکی به ترتیب به وسیله دستگاه



شکل ۲: (الف) طیف جذب بستر پلاسمونیکی با بیشینه جذب در طول موج ۴۲۴ نانومتر و (ب) تصویر FE-SEM بستر پلاسمونیکی و (داخل شکل) توزیع اندازه جزایر نقره روی بستر پلاسمونیکی



شکل ۳: تصویر AFM (الف) دو بعدی و (ب) سه بعدی بستر پلاسمونیکی

درواقع، با تابش نور (لیزر) به سطح ناصاف فلز، در اثر تشدید پلاسمون های سطحی نانوساختارهای فلزی به وسیله میدان الکترومغناطیسی لیزر، میدان های الکتریکی ارتقاء یافته در اطراف فلز ایجاد می شود [۱۱ و ۱۰]. گوبی میدان الکتریکی حاصل از تابش نور تقویت شده است. بنابراین مولکولی که در این میدان الکتریکی ارتقاء یافته قرار می گیرد، بیشتر قطبیده می شود و درنتیجه سیگنال رامان بهبود می یابد [۱۲].

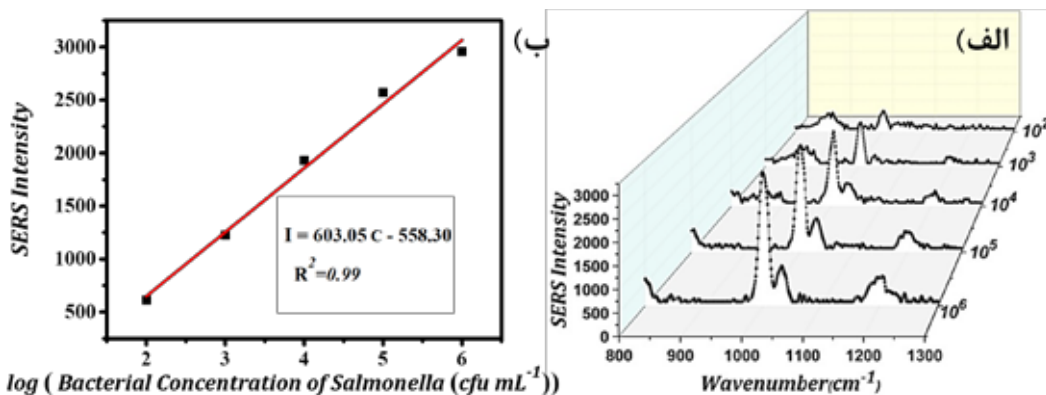
تصویر AFM بستر پلاسمونیکی

شکل ۳ تصویر AFM (الف): دو بعدی و (ب): سه بعدی بستر پلاسمونیکی را نشان می دهد. با استفاده از نرم افزار Image Plus میانگین زبری ۱۶/۹ نانومتر، میانگین مرتفع ترین زبری ۱۳۷/۸ نانومتر و میانگین عمیق ترین زبری ۲۴/۳ نانومتر برای بستر پلاسمونیکی به دست آمد. همان طور که در تصویر FESEM شکل ۲-ب مشاهده می شود ساختارهای نقره در تمام سطح شیشه به طور کامل به یکدیگر متصل نشده اند و ساختار جزیره ای دارند. از طرفی اندازه ذرات یکسان نیست و توزیعی برای اندازه ذرات مشاهده می شود که این غیریکنواختی اندازه در ارتفاع نیز وجود دارد و در تصاویر AFM نیز مشاهده می شود. همان طور که گفته شد، این زبری و ناصافی نقره می تواند باعث تقویت سیگنال رامان شود.

طیف رامان و SERS و آشکارسازی باکتری سالمونلا

شکل ۴-الف طیف SERS باکتری سالمونلا با غلظت های 10^6 ، 10^5 ، 10^4 ، 10^3 و 10^2 cfu mL⁻¹ که روی بسترهای پلاسمونیکی حکاکی شده اند را نشان می دهد. قله هایی که مشاهده می شود مربوط به ارتعاش های مولکولی باکتری سالمونلا است که در جدول ۱ مولکول های سازنده باکتری سالمونلا و ارتعاش های مولکولی و موقعیت آن ها مشاهده می شود. با کاهش غلظت باکتری، شدت قله های ارتعاش های مولکولی آن کاهش می باید چون تعداد باکتری ها و درنتیجه تعداد سیگنال های ارتعاشی آن ها کاهش یافته است [۱۱ و ۱۲]. شکل ۴-ب تغییرات شدت قوی ترین سیگنال SERS مشاهده شده، I، که مربوط به فسفولیپیدها در عدد موج cm⁻¹ ۹۹۸ است را بر حسب تغییرات لگاریتمی غلظت باکتری سالمونلا، C، نشان می دهد که با برازش انجام شده از رابطه (۱) پیروی می کند.

همان طور که در شکل ۴-الف مشاهده شد با کاهش غلظت باکتری تا غلظت 10^2 cfu mL⁻¹ حتی شدت قوی ترین قله SERS نیز کاهش می باید. در شکل ۵ طیف رامان بستر پلاسمونیکی طیف رامان بستر شیشه ای (غیر پلاسمونیکی) حکاکی شده با باکتری و طیف SERS بستر پلاسمونیکی حکاکی شده با سالمونلا مشاهده می شود. با تابش نور لیزر با طول موج ۷۸۵ نانومتر ارتعاش های مولکولی باکتری سالمونلا تحریک می شوند. همان طور که دیده می شود سیگنال SERS باکتری سالمونلا حکاکی شده روی بستر پلاسمونیکی در مقایسه با سیگنال رامان باکتری حکاکی شده روی بستر شیشه ای بهبود یافته است که همان طور که در شکل



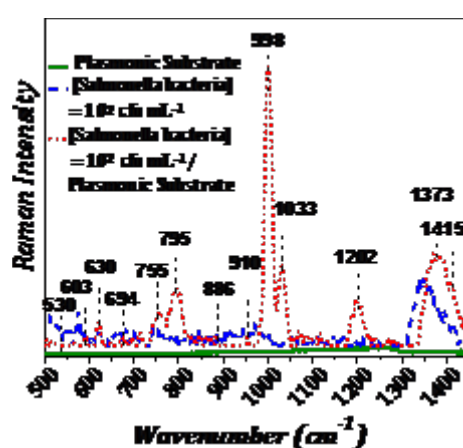
شکل ۴-الف) طیف SERS باکتری سالمونلا با غلظت‌های 10^2 ، 10^3 ، 10^4 ، 10^5 و 10^6 cfu mL⁻¹ بر حسب تغییرات لگاریتمی غلظت باکتری سالمونلا، C مربوط به فسفولیپیدها در عدد موج ۹۹۸ cm⁻¹ (ب) منحنی تغییرات شدت قوی ترین سیگنال SERS

مختلف 10^6 ، 10^5 ، 10^4 ، 10^3 ، 10^2 cfu mL⁻¹ از باکتری سالمونلا روی بستر پلاسمونیکی حکاکی شد. استفاده از بستر پلاسمونیکی سبب می‌شود که به دلیل تشدید پلاسمون‌های سطحی نانوجزایر نقره و پراکندگی بالای نور از جزایر نقره میکروومتری، ارتعاش‌های مولکولی باکتری سالمونلا تقویت شوند. با کاهش غلظت باکتری، شدت سیگنال‌های SERS کاهش می‌یابد اما، بسترهای پلاسمونیکی سبب می‌شوند حتی برای غلظت کمتر 10^2 cfu mL⁻¹ باز هم قله‌های ارتعاش مولکولی فعال در رامان مشاهده شوند در صورتی که این قله‌ها برای باکتری حکاکی شده روی بستر غیرپلاسمونیکی قابل مشاهده و شناسایی نیستند. بنابراین، بسترهای پلاسمونیکی معرفی شده در این پژوهش می‌توانند به تشخیص کم‌هزینه و زودهنگام بیماری‌های ناشی از باکتری سالمونلا و پاتوژن‌های موجود در مواد غذایی کمک کنند.

۲-ب نیز مشاهده شد ناشی از تشدید پلاسمون‌های سطحی نانوجزایر نقره و پراکندگی بالای نور از جزایر نقره میکرومتری است [۱۶ و ۱۷]. که با تابش نور (لیزر) به سطح ناصاف فلز (شکل ۳) و تقویت میدان‌های الکتریکی دور و نزدیک سطح ناصاف، مولکول‌های سازنده باکتری سالمونلا که در این میدان الکتریکی ارتقاء یافته قرار گرفته‌اند، قطبیده‌تر می‌شوند و درنتیجه سیگنال رامان ارتعاش‌های آن‌ها تقویت می‌شود.

نتیجه‌گیری

در این پژوهش، آشکارسازی باکتری سالمونلا با استفاده از بسترهای پلاسمونیکی که به روش ساده چرخشی ساخته شدند، با استفاده از طیف سنجی رامان که تکنیکی غیرمخرب است بررسی شد. ابتدا، بسترهای پلاسمونیکی فعال در SERS به روش شیمیایی ساخته شدند. غلظت‌های



شکل ۵: طیف رامان بستر پلاسمونیکی (منحنی ممتد سبز)، طیف رامان باکتری سالمونلا با غلظت 10^2 cfu mL⁻¹ حکاکی شده روی بستر شیشه‌ای (منحنی خط‌چین آبی) و طیف SERS باکتری سالمونلا با غلظت 10^6 cfu mL⁻¹ حکاکی شده روی بستر پلاسمونیکی (منحنی نقطه‌چین قرمز)

جدول ۱: ارتعاش‌های مولکولی و موقعیت آن‌ها برای باکتری سالمونلا [۱۵-۱۳]

موقعیت ارتعاش‌های مولکولی باکتری سالمونلا (cm ⁻¹)	ارتعاش‌های مولکولی باکتری سالمونلا
۵۳۰	کربوهیدرات‌ها (کشنی)
۶۰۳	(کشنی) COO-
۶۳۰-۶۹۴	(کشنی) COO-
۷۸۵-۷۹۵	(کشنی) C-N
۸۸۶	تیروزین، (کشنی) C-N
۹۱۰	فسفولیپیدها
۹۹۸	فسفولیپیدها
۱۰۳۳	(کشنی) CH ₂ OH و C-O
۱۲۰۲	(لیپید) و آمید II، I (پروتئین) CH
۱۳۷۳	(خمشی-پروتئین) C-H
۱۴۱۵	گربوکسیلیک اسید (کشنی) N-H CH ₂

References:

1. Novais Â, Freitas AR, Rodrigues C, and Peixe L. Fourier transform infrared spectroscopy: unlocking fundamentals and prospects for bacterial strain typing. *European Journal of Clinical Microbiology and Infectious Diseases*. 2018; 38: 427–48.
2. Duan N, Chang B, Zhang H, Wang Z and Wu S. *Salmonella typhimurium* detection using a surface-enhanced Raman scattering-based aptasensor. *Int. J. Food Microbiology*. 2016; 218: 38–43.
3. Wang C, Meloni MM, Wu X, Zhuo M, He T, Wang J and Dong P. Magnetic plasmonic particles for SERS-based bacteria sensing: A review. *AIP Advances*. 2019; 9: 010701.
4. Su SR, Chen YY, Li KY, Fang YC, Wang CH, Yang CY, Chau LK and Wang SC. Electrohydrodynamically enhanced drying droplets for concentration of *Salmonella* bacteria prior to their detections using antibody-functionalized SERS-reporter submicron beads. *Sensors and Actuators B: Chemical*. 2019; 283: 384–9.
5. Zhou H, Yang D, Ivleva NP, Mircescu NE, Niessner R, and Haisch C. SERS detection of bacteria in water by in situ coating with Ag nanoparticles. *Analytical Chemistry*. 2014; 86(3): 1525–33.
6. Mosier-Boss P. Review on SERS of bacteria. *Biosensors*. 2017; 7(4): 51.
7. Sharifi N and Taghavinia N. Silver nano-islands on glass fibers using heat segregation method. *Materials Chemistry and Physics*. 2009; 113: 63–6.
8. Wang LR and Fang Y. IR-SERS study and theoretical analogue on the adsorption behavior of pyridine carboxylic acid on silver nanoparticles. *Spectrochimica Acta Part A: Molecular and Biomolecular Spectroscopy*. 2006; 63: 614–8.
9. Canamares MV, Garcia-Ramos JV, Sanchez-Cortes S, Castillejo M and Oujja M. Comparative SERS effectiveness of silver nanoparticles prepared by different methods: A study of the enhancement factor and the interfacial properties. *Journal of Colloid and Interface Science*. 2008; 326: 103–9.
10. Ren B, Liu GK, Lian XB, Yang ZL and Tian ZQ. Raman spectroscopy on transition metals. *Analytical and Bioanalytical Chemistry*. 2007; 388: 29–45.
11. Matricardi C, Hanske C, Garcia-Pomar JL, Langer J, Mihi A and . Liz-Marzan LM. Gold nanoparticle plasmonic superlattices as surface-enhanced Raman spectroscopy substrates. *ACS Nano*. 2018; 12(8): 8531–9.
12. Lin KQ, Yi J, Hu S, Liu BJ, Liu JY, Wang X and Ren B. Size effect on SERS of gold nanorods demonstrated via single nanoparticle spectroscopy. *The Journal of Physical Chemistry C*. 2016; 120 (37): 20806–13.
13. Zeiri L and Efrima S. Surface-enhanced Raman spectroscopy of bacteria: the effect of excitation wavelength and chemical modification of the colloidal milieu. *Journal of Raman Spectroscopy*. 2005; 36: 667–75.
14. Sengupta A, Laucks ML and Davis EJ. Surface-enhanced Raman spectroscopy of bacteria and pollen. *Applied Spectroscopy*. 2005; 59:1016–23.
15. Zeiri L, Bronk BV, Shabtai Y, Eichler J and Efrima S. Surface-enhanced Raman spectroscopy as a tool for probing specific biochemical components in bacteria. *Applied Spectroscopy*. 2004; 58(1): 33–40.
16. Chen HY, Lin MH, Wang CY, Chang YM and Gwo S. Large-scale hot spot engineering for quantitative SERS at the single-molecule scale. *Journal of the American Chemical Society*. 2015; 137(42): 13698–705.
17. Granger JH, Schlotter NE, Crawford AC and Porter MD. Prospects for point-of-care pathogen diagnostics using surface-enhanced Raman scattering (SERS). *Chemical Society Reviews*. 2016; 45: 3865–82.